

Aula 7 (15/Fev)

Na aula de hoje:

* Resolução exercícios da Folha 2.

▶ Ex 1: Radiação do corpo negro.

▶ Ex 3: Modelo atômico de Bohr.

▶ Ex 4: Experiências de Young.

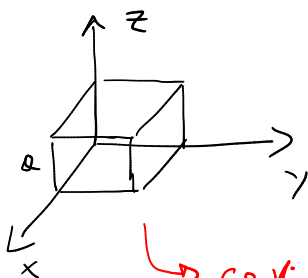
Folha de Problemas 2

Propriedades Quânticas Fundamentais

① Radiação do corpo negro

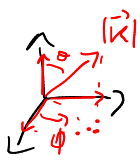
$$(a) \quad \rho = \frac{\text{Energia}}{\text{Volume} \cdot \text{Freq}} \Rightarrow [\rho] = \frac{\overset{\pi \cdot L^2 / T^2}{(E)}}{L^3 \cdot T^{-1}} = \frac{\pi L^2}{T^2} \cdot \frac{T}{L^3} = \frac{\pi}{T \cdot L}$$

(b)



↪ cavidade com paredes condutoras

$$\vec{k} \Rightarrow |\vec{k}| = \frac{2\pi}{\lambda}$$



$$\begin{cases} k_x = |\vec{k}| \cdot \sin \theta \cdot \cos \phi \\ k_y = |\vec{k}| \cdot \sin \theta \cdot \sin \phi \\ k_z = |\vec{k}| \cdot \cos \theta \end{cases}$$

$$k_i = \frac{2\pi}{\lambda_i}, \quad i = x, y, z$$

$$\Rightarrow \begin{cases} \lambda_x = \frac{\lambda}{\sin \theta \cdot \cos \phi} \\ \lambda_y = \frac{\lambda}{\sin \theta \cdot \sin \phi} \\ \lambda_z = \frac{\lambda}{\cos \theta} \end{cases}$$

Impondo $m_i = \frac{2a}{\lambda_i}$, onde $m_i \in \mathbb{N}_0$,

$$\begin{cases} m_x = \frac{2a}{\lambda} \cdot \sin \theta \cos \phi \\ m_y = \frac{2a}{\lambda} \cdot \sin \theta \sin \phi \\ m_z = \frac{2a}{\lambda} \cdot \cos \theta \end{cases}$$

Então

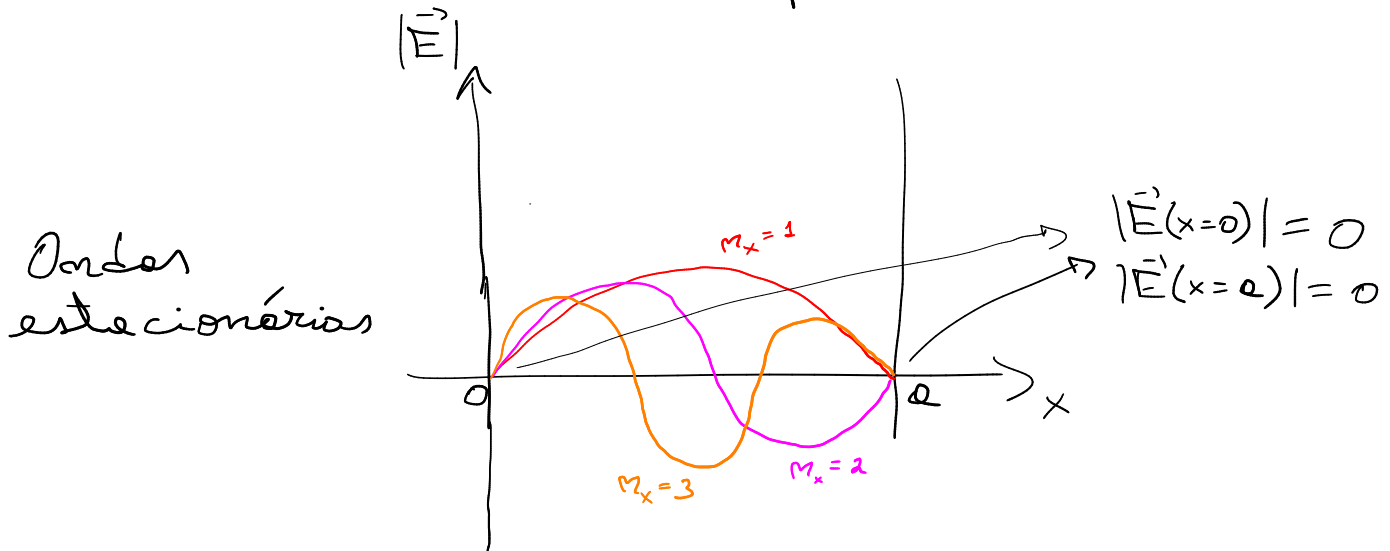
$$m_x^2 + m_y^2 + m_z^2 = \left(\frac{2a}{\lambda}\right)^2 \cdot \left[\sin^2 \theta \overbrace{(\cos^2 \phi + \sin^2 \phi)}^1 + \cos^2 \theta \right] = \left(\frac{2a}{\lambda}\right)^2$$

$$\Rightarrow \frac{2a}{\lambda} = \sqrt{n_x^2 + n_y^2 + n_z^2}$$

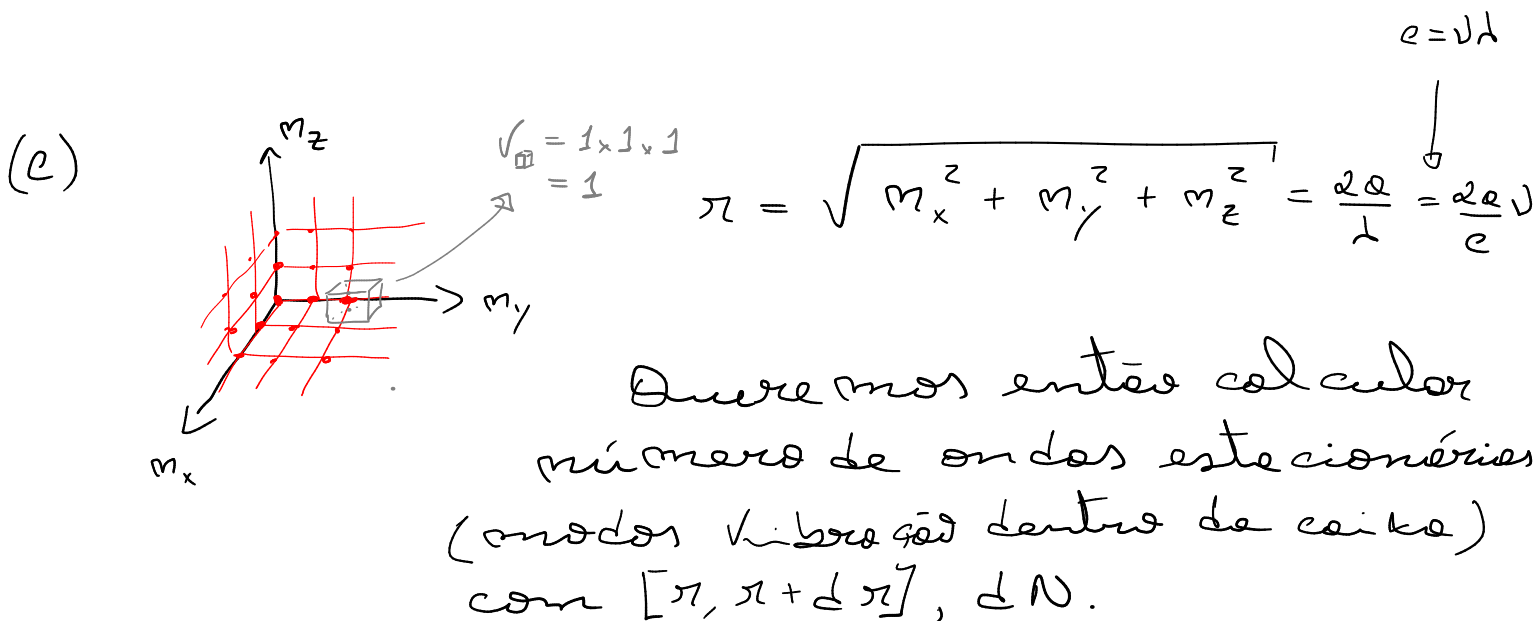
□

Cavidade é condutora $\Rightarrow E_{TG} = 0$ nas paredes.

Por isso, impor $n_i = \frac{2a}{\lambda_i} \Leftrightarrow \lambda_i = \frac{2a}{n_i} \Leftrightarrow$ ondas EMG com modos nas paredes da cavidade



Então teremos $\frac{2a}{\lambda} = \sqrt{n_x^2 + n_y^2 + n_z^2}$ é a condição para que tenhamos ondas estacionárias nas 3 direcções.



$$N_\pi = \frac{4\pi}{3} \pi^3 / V_\square \rightarrow \text{pontos dentro da esfera de raio } \pi.$$

$$= \frac{4\pi}{3} \pi^3$$

$$N_{\pi+d\pi} = \frac{4\pi}{3} (\pi+d\pi)^3 / V_\square \rightarrow \text{pontos dentro da esfera de raio } \pi+d\pi$$

Pontos na casca esférica entre π e $\pi+d\pi$,

$$\Rightarrow dN = N_{\pi+d\pi} - N_\pi = \frac{4\pi}{3} \left[(\pi+d\pi)^3 - \pi^3 \right]$$

$$= \frac{4\pi}{3} \left[(\pi^3 + 3\pi^2 d\pi + \dots) - \pi^3 \right]$$

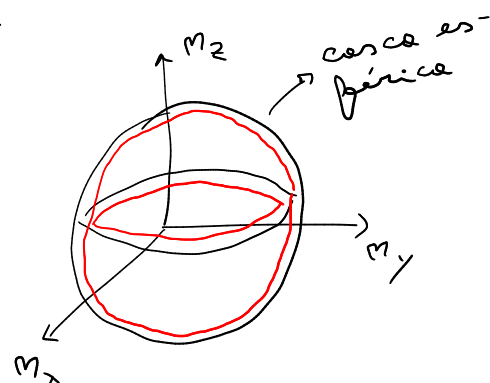
$$= 4\pi \pi^2 d\pi$$

\hookrightarrow número de modos de libre
ção numa casca esférica
entre π e $\pi+d\pi$.

Escrevendo dN em termos de V ,

$$\pi = \frac{2a}{b} = \frac{2a}{c} \cdot V \Rightarrow d\pi = \frac{2a}{c} \cdot dV$$

$$\Rightarrow dN = 4\pi \cdot \left(\frac{2a}{c}\right)^3 \cdot V^2 \cdot dV$$



Como $n_i \in \mathbb{N}_0 \Rightarrow dN \rightarrow \frac{dN}{8}$

$$dN = 4\pi \frac{v^3}{c^3} \cdot v^2 \cdot dv = \frac{4\pi V}{c^3} \cdot v^3 \cdot dv$$

(d) Duas polarizações $\Rightarrow d\tilde{N} = 2dN$

$$\Rightarrow d\tilde{N} = \frac{8\pi \cdot V}{c^3} \cdot v^2 \cdot dv$$

e como cada grau liberdade tem energia média $k_B T$ (teorema da equipartição de energia)

$$\Rightarrow dE = d\tilde{N} \times k_B T = \frac{8\pi V}{c^3} \cdot v^2 k_B T \cdot dv$$

Assim, $\frac{\text{Energia}}{\text{Volume}} = p_r(v) \cdot dv = \frac{dE}{V} = \frac{8\pi}{c^3} \cdot v^2 \cdot k_B T \cdot dv$

$$\Rightarrow \boxed{p_r(v) = \frac{8\pi}{c^3} \cdot v^2 \cdot k_B T} \rightarrow \text{Rayleigh-Jeans}$$

(e)

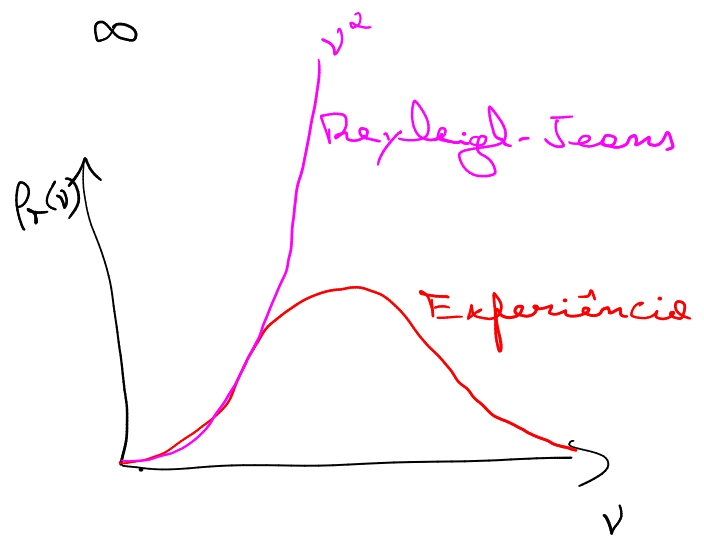
$$P_T = \int_0^{\infty} P_T(\nu) d\nu$$

$$= \int_0^{\infty} \frac{8\pi}{c^3} \nu^2 \cdot k_B T d\nu$$

$$= \frac{8\pi}{c^3} \cdot k_B T \underbrace{\int_0^{\infty} \nu^2 d\nu}_{\infty} = \infty, \text{ integral é divergente}$$

$$P_T(\nu) \xrightarrow{\nu \rightarrow \infty} \infty$$

$$P_T(\nu) \xrightarrow{\nu \rightarrow 0} 0$$



(f) Abonitamos $E_n = n h \nu$, $n = 0, 1, 2, \dots$

Então energia média por modo é dada por

$$\langle E \rangle = \frac{\sum_{n=0}^{\infty} E_n \cdot e^{-\beta E_n}}{\sum_{n=0}^{\infty} e^{-\beta E_n}} = Z, \text{ onde } \beta = \frac{1}{k_B T}$$

$$= \frac{1}{Z} \cdot \sum_{n=0}^{\infty} \left(-\frac{d}{d\beta} \right) e^{-\beta E_n} = -\frac{1}{Z} \cdot \frac{d}{d\beta} \sum_{n=0}^{\infty} e^{-\beta E_n}$$

$$= - \frac{d}{d\beta} \ln Z$$

Basta-nos então calcular a função de partição Z ,

$$Z = \sum_{n=0}^{\infty} e^{-\beta h\nu n} \quad \xrightarrow{x = e^{-\beta h\nu}} \quad = \sum_n x^n = 1 + x + x^2 + \dots$$

$$= \frac{1}{1-x} = \frac{1}{1-e^{-\beta h\nu}}$$

série
geométrica
infinita

Substituindo em cima,

$$\langle E \rangle = - \frac{d}{d\beta} \ln \left[\frac{1}{1-e^{-\beta h\nu}} \right] = - \left(\frac{1}{1-e^{-\beta h\nu}} \right)^{-1} \cdot \left(- \frac{+h\nu e^{-\beta h\nu}}{1-e^{-\beta h\nu}} \right)$$

$$= h\nu \frac{e^{-\beta h\nu}}{1-e^{-\beta h\nu}} = \frac{h\nu}{e^{\beta h\nu} - 1}$$

Substituindo na densidade espectral

$\langle E \rangle = k_B T$ por $\langle E \rangle = \frac{h\nu}{e^{\beta h\nu} - 1}$, ficamos com

$$\boxed{P_\nu(\nu) = \frac{8\pi\nu^2}{c^3} \frac{h\nu}{e^{\beta h\nu} - 1}} \rightarrow \text{lei Planck}$$

(2) Máximo, λ_{\max} , de p_r ?

Anteriormente definimos

$$\frac{dE}{V} = p_r(\nu) \cdot d\nu = \tilde{p}_r(\lambda) \cdot d\lambda$$

mas nós sabemos que $c = \lambda\nu \Rightarrow \lambda = c/\nu$. Então teremos

$$d\lambda = -\frac{c}{\nu^2} \cdot d\nu \Rightarrow d\nu = -\frac{\nu^2}{c} d\lambda = -\frac{c}{\lambda^2} \cdot d\lambda$$

$$\Rightarrow \frac{dE}{V} = p_r(\nu) \cdot \left(-\frac{c}{\lambda^2} \cdot d\lambda\right)$$

$$\Rightarrow \frac{dE}{V} = \frac{c}{\lambda^2} \frac{8\pi h}{c^3} \left(\frac{c}{\lambda}\right)^3 \cdot \frac{1}{e^{\frac{hc}{\lambda k_B T}} - 1} \cdot d\lambda$$

$$= \frac{8\pi h c}{\lambda^5} \frac{1}{e^{\frac{hc}{\lambda k_B T}} - 1} \cdot d\lambda$$

$$= \tilde{p}_r(\lambda)$$

Os extremos de $\tilde{p}_r(\lambda)$ são dados por

$$\frac{d\tilde{p}_r(\lambda)}{d\lambda} = 0 \Rightarrow 8\pi h c \left[-\frac{5}{\lambda^6} \frac{1}{e^{\dots} - 1} - \frac{1}{\lambda^5} \cdot \left(-\frac{hc}{k_B T}\right) \frac{1}{\lambda^2} \frac{e^{\dots}}{(e^{\dots} - 1)^2} \right] = 0$$

$$\Rightarrow 5 - \frac{hc}{k_B T} \frac{1}{\lambda} \frac{e^{\dots}}{e^{\dots} - 1} = 0$$

usando $x \equiv \frac{hc}{\lambda k_B T}$ teremos

$$\Rightarrow 5 - x \frac{e^x}{e^x - 1} = 0$$

$$\Rightarrow 5(e^x - 1) - x e^x = 0$$

$$\Rightarrow x = 0 \quad \vee \quad x = 4,9651$$

\hookrightarrow mínimo

\hookrightarrow máximo

Assim o máximo será dado por

$$\boxed{\lambda_{\max} = \frac{hc}{k_B} \cdot \frac{1}{4,9651} \frac{1}{T} = \frac{c}{T}} \rightarrow \text{lei de Wien}$$

onde $c = 0,00289$. Π

$$\text{Se } T = 1000\text{K} \Rightarrow \lambda_{\max} = 2,89 \times 10^{-6} \text{ m} \\ = 2890 \text{ nm}$$

\hookrightarrow infravermelho

Se T aumenta, λ_{\max} diminui.

(2)

$$\rho(T) = \int_0^{\infty} p_r(v) \cdot dv$$

$$= \int_0^{\infty} \frac{8\pi h}{c^3} \frac{v^3}{e^{hv/k_B T} - 1} dv$$

$$\begin{aligned} x &\equiv \frac{h v}{k_B T} \Rightarrow dx = \frac{h}{k_B T} dv \\ &\Rightarrow \int_0^{\infty} \frac{8\pi h}{c^3} \left(\frac{k_B T}{h}\right)^3 \cdot \frac{x^3}{e^x - 1} \cdot \frac{k_B T}{h} \cdot dx \end{aligned}$$

$$= \frac{8\pi}{c^3} \frac{(k_B T)^4}{h^3} \underbrace{\int_0^{\infty} \frac{x^3}{e^x - 1} dx}_{= \pi^4/15}$$

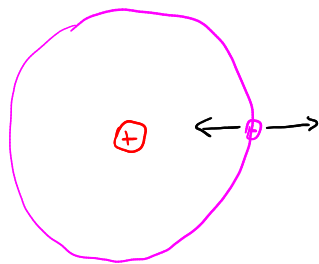
$$\Rightarrow \boxed{\rho(T) = \frac{8\pi^5}{15} \frac{k_B^4}{c^3 h^3} T^4 = \sigma T^4}$$

↳ bei Stefan

onde $\sigma = 7,549 \times 10^{-16} \text{ J/Km}^2 \cdot \text{s}$

③ Modelo atômico de Bohr

(a)



Raio constante implica que

$$|\vec{F}_{\text{centrifuga}}| = |\vec{F}_{\text{centrípeto}}|$$

$$\vec{F}_{\text{centrípeto}} = \vec{F}_{\text{coul.}} = -\frac{1}{4\pi\epsilon_0} \frac{Ze^2}{r^2} \vec{e}_r$$

$$\vec{F}_{\text{centrifuga}} = +m \frac{v^2}{r} \vec{e}_r$$

$$\vec{F}_{\text{total}} = \vec{F}_{\text{centrípeto}} + \vec{F}_{\text{centrifuga}} = 0 \Rightarrow \underline{\underline{\text{raio const}}}$$

$$\Rightarrow m \frac{v^2}{r} = \frac{1}{4\pi\epsilon_0} \frac{Ze^2}{r^2}$$

→ condição de
raio constante

(b) $E = E_{\text{cin}} + E_{\text{pot}}$

$$E_{\text{cin}} = \frac{m}{2} |\dot{\vec{r}}|^2 = \frac{m}{2} v^2 \stackrel{\text{condição de raio constante}}{=} \frac{1}{2} \frac{1}{4\pi\epsilon_0} \frac{Ze^2}{r}$$

$$= \frac{1}{8\pi\epsilon_0} \frac{Ze^2}{r}$$

$$E_{\text{pot}} = -\frac{1}{4\pi\epsilon_0} \frac{Ze^2}{r}$$

Então temos que energia total é

$$E = E_{\text{cin}} + E_{\text{pot}} = - \frac{1}{8\pi\epsilon_0} \frac{ze^2}{r}$$

□

(c) Se para o átomo de hidrogênio ($z=1$)
temos

$$\frac{1}{\lambda} = R_H \left(\frac{1}{m^2} - \frac{1}{n^2} \right), \quad n > m$$

$$\Rightarrow E_f - E_i = \frac{hc}{\lambda} = hcR_H \left(\frac{1}{m^2} - \frac{1}{n^2} \right)$$

então níveis energia do átomo hidrogênio
serão da forma

$$\boxed{E_n = -hc \cdot R_H \cdot \frac{1}{n^2}}, \quad n = 1, 2, 3, \dots$$

(d) Se temos $E = E_n = -hc \cdot R_H / n^2$,

então,

$$+hc \cdot R_H \cdot \frac{1}{n^2} = + \frac{1}{8\pi\epsilon_0} \cdot \frac{\overset{1}{(2)}e^2}{r}$$

$$\Rightarrow r = \frac{1}{8\pi\epsilon_0} \frac{e^2}{a.e.R_H} \cdot n^2, \quad n = 1, 2, 3, \dots$$

ou seja, só alguns raios de órbita são admitidos.

$$(2) \quad |\vec{L}| = |\vec{r} \times \vec{p}| = mvr \cdot r$$



$$\Rightarrow L^2 = m^2 v^2 \cdot r^2$$

$$|\vec{F}_{\text{centrifuga}}| = |\vec{F}_{\text{centrípeta}}|$$

$$\Rightarrow m \frac{v^2}{r} = \frac{1}{4\pi\epsilon_0} \frac{e^2}{r^2} \Rightarrow v = \sqrt{\frac{e^2}{4\pi\epsilon_0 m} \frac{1}{r}}$$

$$\Rightarrow L^2 = m^2 r^2 \cdot \frac{e^2}{4\pi\epsilon_0 m} \frac{1}{r}$$

$$= \frac{m}{4\pi\epsilon_0} e^2 \cdot \frac{1}{2(4\pi\epsilon_0)} \frac{e^2}{a.e.R_H} \cdot m^2$$

$$R_H = \frac{m e^4}{8\epsilon_0^2 a^3 e}$$

$$\Rightarrow L = \frac{e^2}{4\pi\epsilon_0} \cdot m \cdot \sqrt{\frac{\cancel{m}}{2\cancel{a} \cdot \cancel{e} \cdot \pi^2 4 \cancel{m} e^4} \frac{2(4\pi\epsilon_0)^2 \cancel{a}^3 \cancel{e}}{\cancel{e}}}$$

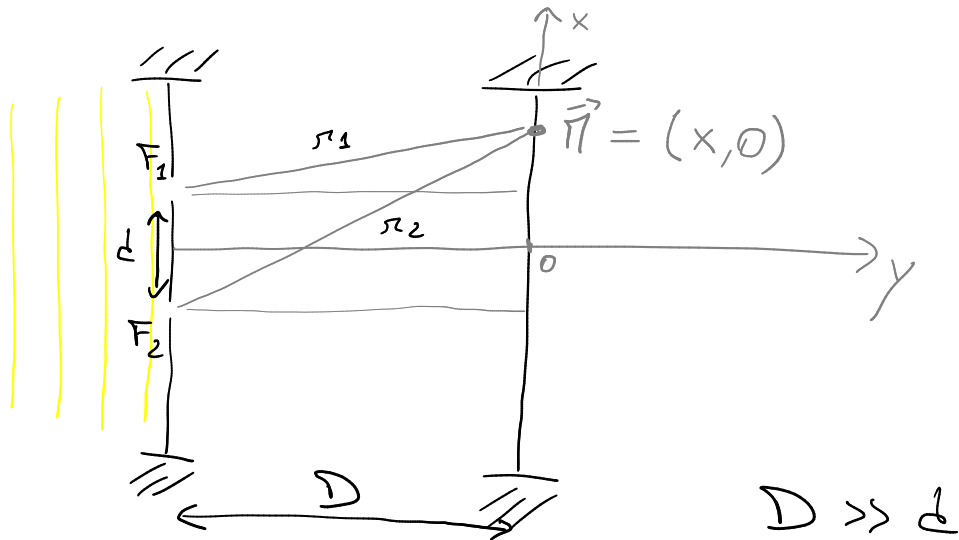
$$= \frac{e^2}{4\pi\epsilon_0} \cdot m \cdot \frac{4\pi\epsilon_0}{e^2} \cdot \left(\frac{h}{2\pi} \right) = \hbar$$

$$\Rightarrow \boxed{L = n\hbar}, \quad n = 1, 2, 3, \dots$$

□

① momento angular do elétron que orbita o núcleo está quantizado.

④ Experiências de Young



$$\textcircled{Q} \quad \begin{cases} r_1^2 = D^2 + \left(x - \frac{d}{2}\right)^2 \\ r_2^2 = D^2 + \left(x + \frac{d}{2}\right)^2 \end{cases}$$

$$\Leftrightarrow \begin{cases} r_1 = D \cdot \sqrt{1 + (x - d/2)^2 / D^2} \\ r_2 = D \cdot \sqrt{1 + (x + d/2)^2 / D^2} \end{cases}$$

Os campos eléctricos da fenda 1 e da fenda 2 em $\vec{r} = (x, 0)$ são dados por

$$\vec{E}_1(t, \vec{r}) = A \cdot \vec{e}_p \cdot e^{i(\underbrace{\vec{k} \cdot \vec{r}_1}_{\equiv \phi_1} - \omega t)}$$

$$\vec{E}_2(t, \vec{r}) = A \cdot \vec{e}_p \cdot e^{i(\underbrace{\vec{k} \cdot \vec{r}_2}_{\equiv \phi_2} - \omega t)}$$

Assim, a intensidade é dada por $I \propto |\vec{E}|^2$, e então

$$\begin{aligned} |\vec{E}(t, \vec{r})|^2 &= |\vec{E}_1(t, \vec{r}) + \vec{E}_2(t, \vec{r})|^2 \\ &= |\vec{E}_1|^2 + |\vec{E}_2|^2 + |\vec{E}_1| \cdot |\vec{E}_2| \cdot (e^{-i\vec{k}(\vec{r}_1 - \vec{r}_2)} + e^{i\vec{k}(\vec{r}_1 - \vec{r}_2)}) \end{aligned}$$

$$= A^2 + A^2 + A^2 \cdot 2 \cos[\vec{k}(\vec{r}_1 - \vec{r}_2)]$$

$$= 2A^2 \cdot [1 + \cos(\Delta\phi)]$$

A diferença de fase das duas ondas em \vec{P} , é dada por

$$\Delta\phi = K(\pi_1 - \pi_2) = K.D \left[\sqrt{1 + \left(\frac{x-d/2}{D}\right)^2} - \sqrt{1 + \left(\frac{x+d/2}{D}\right)^2} \right]$$

que como $D \gg d$ e como $D \gg x$, então teremos que $D \gg x \pm d/2$, e poderemos escrever,

$$\sqrt{1 \pm \delta} \approx 1 \pm \frac{\delta}{2} + \dots \quad \delta \ll 1$$

$$\Delta\phi \approx K.D. \left[\left(1 + \frac{1}{2D^2} (\cancel{x^2} - x d + \cancel{\frac{d^2}{4}}) + \dots \right) - \left(1 + \frac{1}{2D^2} (\cancel{x^2} + x d + \cancel{\frac{d^2}{4}}) + \dots \right) \right]$$

$$\approx K.D. \frac{(-x d)}{2D^2} \approx - \frac{K x d}{D}$$

Assim, os máximos de intensidade no plano detector (ao longo do eixo Ox) serão dados pelos máximos de $\cos(\Delta\phi)$, ou seja, por

$$\Delta\phi = 2\pi \cdot m, \quad m = 0, \pm 1, \pm 2, \dots$$

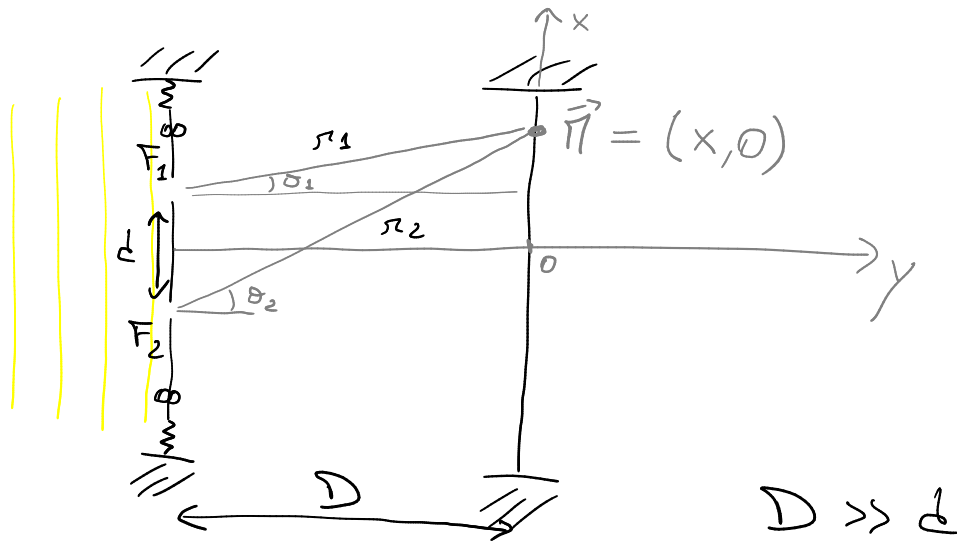
$$\Rightarrow \frac{k \cdot d}{D} = 2\pi m \Rightarrow \boxed{x = \frac{2\pi D}{k \cdot d} \cdot m}$$

↪ posições de todos os máximos e assim, a distância entre dois máximos consecutivos é dada por

$$\Delta x = x_1 - x_0 = \frac{2\pi D}{k d} = \frac{\lambda D}{d}$$

□

(b) Experiência de Young modificada



$$\text{de Broglie} \Rightarrow p = \hbar |\vec{k}| = \frac{h}{\lambda}$$

O momento transmitido para o plano ^{das fendas} de um fôton que passe em F_1 ou em F_2 e é detectado em \vec{r} , é dado por

$$\begin{cases} P_x^1 = P \cdot \sin \theta_1 & , \text{ se passe em } F_1 \\ P_x^2 = P \cdot \sin \theta_2 & , \text{ se passe em } F_2 \end{cases}$$

sendo que $\Delta p = |P_x^2 - P_x^1|$ é dado por

$$\Delta p = P \cdot |\sin \theta_2 - \sin \theta_1|$$

$$= P \cdot \left| \frac{1}{\sqrt{1 + \cot^2 \theta_2}} - \frac{1}{\sqrt{1 + \cot^2 \theta_1}} \right|$$

$$= P \cdot \left| \frac{1}{\sqrt{1 + \left(\frac{D}{x+d/2}\right)^2}} - \frac{1}{\sqrt{1 + \left(\frac{D}{x-d/2}\right)^2}} \right|$$

$$= P \cdot \left| \frac{x+d/2}{D} (1 + \dots) - \frac{x-d/2}{D} (1 + \dots) \right|$$

$$\begin{aligned} \sin \theta &= \sqrt{\sin^2 \theta} \\ &= \sqrt{\frac{1}{1 + \frac{\cos^2 \theta}{\sin^2 \theta}}} = \frac{1}{\sqrt{1 + \cot^2 \theta}} \end{aligned}$$

$$\begin{aligned} \cot^2 \theta_{1,2} &= \frac{\cos^2 \theta_{1,2}}{\sin^2 \theta_{1,2}} \\ &= \frac{D^2}{(x \pm d/2)^2} \end{aligned}$$

$$\gg 1$$

e assim concluímos que

$$\Delta p = |P_2 - P_1| \approx \frac{P \cdot d}{D} \quad \square$$

(c) Se queremos distinguir por qual das fendas passou o fóton, teremos que medir Δp do plano das fendas com

uma precisão maior do que

$$|p_2 - p_1| \approx \frac{p \cdot d}{D}$$

Assim a incerteza na medição de p do plano das pendas tem que ser

$$\Delta p \ll \frac{p \cdot d}{D} = \frac{\lambda}{D \lambda} \quad p = \lambda / \lambda$$

Mas pelo P. Incerteza sabemos que

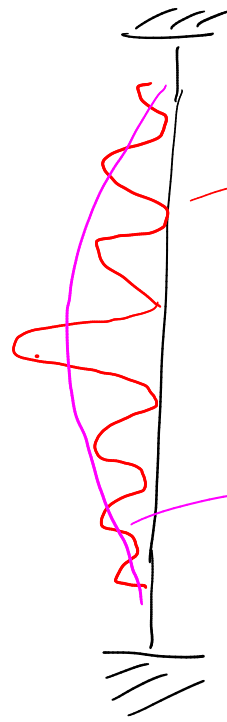
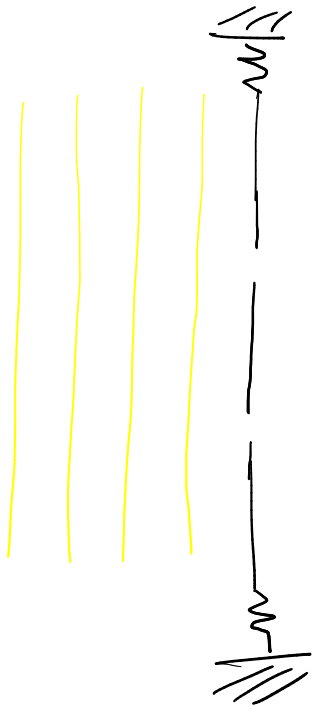
$$\Delta x \Delta p \gtrsim \hbar \Leftrightarrow \Delta x \gtrsim \frac{\hbar}{\Delta p}$$

E então, a incerteza na posição do plano das pendas (na direcção O_x), Δx , é dada por

$$\Rightarrow \Delta x \gg \frac{\cancel{\hbar}}{\cancel{\lambda \cdot d} / D \lambda} = \frac{D \lambda}{d}$$

que é a distância entre máximos consecutivos. A incerteza na posição do plano das pendas será muito maior do que a distância entre máximos.

↳ Não conseguiremos ver o padrão de interferência.



→ Padrão de interferência inicial

→ Padrão de interferência quando tentamos ver por qual fenda passa o fóton, e geramos incerteza na posição das fendas, "misturando" posições dos máximos no plano detector.